



(12)发明专利

(10)授权公告号 CN 106693186 B

(45)授权公告日 2019.09.27

(21)申请号 201610959700.2

(22)申请日 2016.10.28

(65)同一申请的已公布的文献号
申请公布号 CN 106693186 A

(43)申请公布日 2017.05.24

(30)优先权数据
2015-222301 2015.11.12 JP
2016-193390 2016.09.30 JP

(73)专利权人 新能源产业株式会社
地址 日本国大阪府

(72)发明人 新纳清宪

(74)专利代理机构 北京旭知行专利代理事务所
(普通合伙) 11432
代理人 王轶 李伟

(51)Int.Cl.
A61N 5/00(2006.01)

(56)对比文件
CN 101862247 A,2010.10.20,
CN 203694420 U,2014.07.09,
KR 20140131463 A,2014.11.13,

审查员 丁瑜

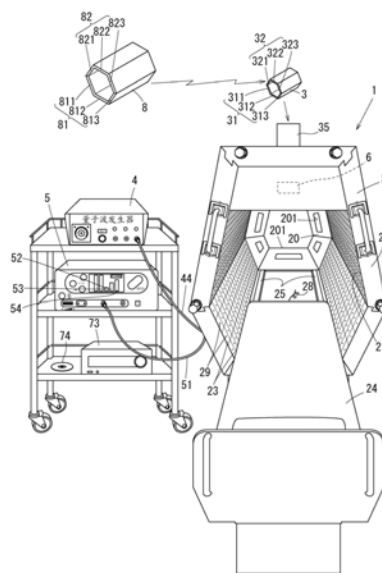
权利要求书1页 说明书9页 附图6页

(54)发明名称

量子照射用拱顶

(57)摘要

本发明能够向被照射物有效地照射量子波。在金属外壳(22)上内衬掺有半导体粉末的树脂面板(23)而形成在内部收容被治疗者或物质的大型拱顶(2)。因此,由金属外壳(22)辐射的量子波照射到作为被照射物的例如被治疗者(人体),进而,透过被治疗者或者由被治疗者反射的量子波被所述半导体粉末反射而再次照射到被治疗者。这样能够将量子波高效率地照射到被治疗者的全身。或者,在作为其它被照射物,为食物、生物、工业制品等各种物体的情况下,还能够有效地进行其改性。



1. 一种量子照射用拱顶,其特征在于,包括:
金属外壳,所述金属外壳通过被供给量子波而将该量子波辐射到内部;和
树脂面板,所述树脂面板是在树脂中掺入2~20重量%的反射所述量子波的半导体粉末而成的,并贴附于所述金属外壳的内侧,
向收容在所述内部的被照射物照射所述量子波。
2. 根据权利要求1所述的量子照射用拱顶,其特征在于,
在含有5重量%的所述半导体粉末的情况下,所述树脂面板被形成为2mm以上的板厚。
3. 根据权利要求1或2所述的量子照射用拱顶,其特征在于,
所述半导体粉末为金属氧化物和/或硅酸盐化合物。
4. 根据权利要求3所述的量子照射用拱顶,其特征在于,
所述金属氧化物包含氧化锌、氧化钛、氧化锆、氧化铝中的至少1者。
5. 根据权利要求1或2所述的量子照射用拱顶,其特征在于,
在所述树脂中还掺有用于使所述树脂具有导电性的金属粉末。
6. 根据权利要求5所述的量子照射用拱顶,其特征在于,
所述半导体粉末及金属粉末为10 μ m~100 μ m的粉体。
7. 根据权利要求6所述的量子照射用拱顶,其特征在于,
所述半导体粉末及金属粉末为30 μ m~50 μ m的粉体。
8. 根据权利要求1或2所述的量子照射用拱顶,其特征在于,
所述量子照射用拱顶被形成为圆筒状或大致六棱筒状。
9. 根据权利要求1或2所述的量子照射用拱顶,其特征在于,
所述金属外壳构成为包括:
外层,所述外层用于获得强度;
中层,所述中层通过与所述外层电连接的支撑部件而以与所述外层间隔开预先规定的间隔的方式配置于所述外层的内侧,所述中层反射所述量子波;以及
内层,所述内层以与所述中层间隔开预先规定的间隔且与所述中层电绝缘的方式配置于所述中层的内侧,并被供给所述量子波。
10. 根据权利要求1或2所述的量子照射用拱顶,其特征在于,
来自量子波发生器的量子波被供给到所述金属外壳,进行作为所述被照射物的人的治疗。
11. 根据权利要求1或2所述的量子照射用拱顶,其特征在于,
来自量子波发生器的量子波被供给到所述金属外壳,使作为所述被照射物的物体的原子核改性。

量子照射用拱顶

技术领域

[0001] 本发明涉及在使用量子波对被治疗者进行治疗或者对物体进行改性时使用的量子照射用拱顶。

背景技术

[0002] 目前,在市场上销售有一种通过对人体照射微波或电磁波等来改善血液循环或者提高患部的治愈效果的治疗仪。然而,因为效果不足或者对人体内部的效果差(不易渗透),所以本发明的发明人以前提出了专利文献1。

[0003] 关于专利文献1,用LC并联谐振电路对以像所谓矿石收音机那样的机理从外部接收到的电磁波进行放大,并与成为偏压的交流电源重叠,并且仅取出负的成分,由电极等施加到患部,由此,使构成所述电极的原料原子的外层电子轨道发生变动,利用因此导致的质子振动来产生量子波,并将该量子波照射到患部,由此来活化所述患部的细胞。

[0004] 专利文献2中,将所述量子波及远红外线照射到医用片材上并将该医用片材贴在人体上,由此得到了同样的效果。

[0005] 专利文献3中,将量子波照射到食用油,由此,使该食用油改性,用于防止氧化。

[0006] 专利文献

[0007] 专利文献1:日本特许第5684434号公报

[0008] 专利文献2:日本特许第5657841号公报

[0009] 专利文献3:日本特许第5727104号公报

发明内容

[0010] 上述的专利文献1、2由于使用量子波,所以还能够进行人体的内部、特别是屏蔽了所述微波或电磁波的头盖的内部等的治疗,另外,因为采用小型的构成,所以还容易操作。但是,是面向局部的,无法高效率地进行全身的广泛治疗。专利文献3由于使电极浸渍于食用油或者使电极与收容有食用油的金属外壳接触,所以能够改性的物体也是有限的。

[0011] 本发明的目的是提供一种在利用量子波进行治疗或物体的改性时能够进行全身的广泛治疗、广泛的物体的改性的量子照射用拱顶。

[0012] 本发明的量子照射用拱顶的特征在于,包括金属外壳和树脂面板,所述金属外壳通过被供给量子波而将该量子波辐射到内部,所述树脂面板是在树脂、优选为ABS中掺入反射所述量子波的半导体粉末而成的,并贴附于所述金属外壳的内侧;向收容在所述内部的被照射物照射所述量子波。

[0013] 根据上述的构成,在将量子波辐射到内部的金属外壳上内衬掺有反射所述量子波的半导体粉末的树脂而设置在内部收容被治疗者或物质的大型拱顶。本发明的发明人的实验结果中,半导体粉末以高效率反射量子波,所以作为内衬于拱顶的材料非常理想。因此,如果对金属外壳供给量子波,则虽然也进行向外部的放射,但由于内部利用包含所述半导体粉末的树脂进行反复反射,因此能够高效率地封闭量子波。并且,如果通过量子波发生

器由所述拱顶的金属外壳辐射量子波,则该量子波照射到例如作为所述被照射物的被治疗者(人体),进而,透过被治疗者或者由被治疗者反射的量子波被树脂中的半导体粉末反射而再次照射到被治疗者。

[0014] 这样能够将具有容易到达人体内部、还通过骨头等的特征的量子波高效率地照射到被治疗者的全身。由此,能够使全身得到活化,或者调整复杂关联的内脏器官的状况,或者使分散在全身的癌萎缩。另外,作为其它被照射物,为食物、生物、工业制品等各种物体,还能够有效地进行其原子核的改性。作为量子,可以举出:光子、电子、夸克、中微子等。

[0015] 另外,本发明的量子照射用拱顶的特征在于,含有2~20重量%的所述半导体粉末,特别优选含有5重量%的所述半导体粉末。

[0016] 根据上述的构成,本发明的发明人的实验结果中,关于半导体粉末的浓度,量子波的反射率在2重量%左右开始饱和,因此,通过使最低含量为该2重量%,能够提高性价比。并且,考虑浓度偏差等,优选使最佳值为5重量%。另一方面,量子波的反射率在20重量%几乎完全饱和,因此,为了抑制材料成本,另外,为了抑制树脂的强度降低,优选使最大值为该20重量%。

[0017] 进而,本发明的量子照射用拱顶的特征在于,在含有5重量%的所述半导体粉末的情况下,所述树脂面板被形成为2mm以上的板厚。

[0018] 根据上述的构成,树脂面板越厚,反射效果越好,但是,成本越高。

[0019] 因此,通过使树脂面板为2mm以上的板厚,能够得到含有5重量%的半导体粉末时的期望的反射率。另外,通过使树脂面板为2mm,能够提高性价比。

[0020] 另外,本发明的量子照射用拱顶的特征在于,所述半导体粉末为金属氧化物和/或硅酸盐化合物。

[0021] 根据上述的构成,本发明的发明人的实验结果中,作为半导体粉末,金属氧化物及硅酸盐化合物的反射量子波的效果高。作为所述金属氧化物,优选包含氧化锌、氧化钛、氧化锆、氧化铝中的至少1者。另外,所述金属氧化物及硅酸盐化合物优选多个种类组合使用。

[0022] 另外,本发明的量子照射用拱顶的特征在于,在所述树脂中还掺有用于使所述树脂具有导电性的金属粉末。

[0023] 根据上述的构成,通过在所述树脂中掺入金属氧化物、硅酸盐化合物等半导体粉末之外,还掺入用于使所述树脂具有导电性的金属粉末,能够进一步增大使所述量子波反射的效果。

[0024] 进而,本发明的量子照射用拱顶的特征在于,所述半导体粉末及金属粉末为10 μm ~100 μm 、特别优选30 μm ~50 μm 的粉体。

[0025] 根据上述的构成,能够进一步增大使所述量子波反射的效果。

[0026] 另外,本发明的量子照射用拱顶的特征在于,被形成为圆筒状或大致六棱筒状。

[0027] 根据上述的构成,圆筒或大致六棱筒的拱顶起到光学测定中使用的积分球那样的作用,由内壁面反射的量子波集中到配置于比该圆筒或大致六棱筒的中心靠下方的被治疗者。

[0028] 因此,能够有效地向被治疗者或物体照射量子。

[0029] 进而,本发明的量子照射用拱顶的特征在于,所述金属外壳构成为包括:用于获得强度的相对较厚的外层、通过与所述外层电连接的支撑部件而间隔开预先规定的间隔地配

置于所述外层的内侧来反射所述量子波的中层、以及被形成得相对较薄、间隔开预先规定的间隔且与所述中层电绝缘地配置于所述中层的内侧并被供给所述量子波的内层。

[0030] 根据上述的构成,通过相对较厚的外层使其获得强度,并且,屏蔽外部电磁波,通过中层将量子波反射到内侧,向电绝缘且相对较薄的内层供给来自所述量子波发生器的量子波而使其辐射到所述内部,同时,使来自被治疗者或物体的反射波再反射。

[0031] 因此,能够非常有效地向被治疗者或物体照射量子波。

[0032] 另外,本发明的量子照射用拱顶的特征在于,来自量子波发生器的量子波被供给到所述金属外壳,进行作为所述被照射物的人的治疗。

[0033] 如上所述,关于本发明的量子照射用拱顶,在将量子波辐射到内部的金属外壳上内衬掺有以高效率反射量子波的半导体粉末的树脂而形成在内部收容被治疗者或物质的大型拱顶。

[0034] 因此,被照射到例如作为被照射物的被治疗者(人体),进而,透过被治疗者或者由被治疗者反射的量子波被树脂的半导体粉末反射而再次被照射到被治疗者,能够高效率地照射到被治疗者的全身。或者,在作为其它被照射物,是食物、生物、工业制品等各种物体的情况下,还能够有效地进行其改性。

附图说明

[0035] 图1是表示本发明的一个实施方式所涉及的量子治疗仪的整体构成的图。

[0036] 图2是表示所述量子治疗仪的使用状态的图。

[0037] 图3是表示本发明的一个实施方式所涉及的量子照射用拱顶的结构示意性的垂直截面图。

[0038] 图4是第二量子波发生器的电路图。

[0039] 图5是表示第三量子波发生器亦即LED量子照射器周围的构成的立体图。

[0040] 图6是示意性地表示向LED照射量子信息的方法的图。

[0041] 符号说明:

[0042] 1 量子治疗仪

[0043] 2 量子照射用拱顶

[0044] 21 内壁面

[0045] 22 金属外壳

[0046] 221 外层

[0047] 222 中层

[0048] 223 内层

[0049] 224 绝缘体

[0050] 225 支撑部件

[0051] 23 树脂面板

[0052] 231 树脂

[0053] 232 半导体粉末

[0054] 24 床位

[0055] 25 轨道

- [0056] 28 线缆
- [0057] 3 天线
- [0058] 31、32 一对部件
- [0059] 311、312、313,321、322、323 壁面
- [0060] 33 橡胶片
- [0061] 35 罩
- [0062] 36 线缆
- [0063] 4 量子波发生器
- [0064] 41 交流电源
- [0065] 42 LC并联谐振电路
- [0066] 43 整流元件
- [0067] 44 线缆
- [0068] 5 高压电源
- [0069] 51 线缆
- [0070] 52~54 指示器
- [0071] 6 LED量子照射器
- [0072] 61 LED
- [0073] 62 外壳
- [0074] 71、72 扬声器
- [0075] 73 播放器
- [0076] 79 监控摄像机
- [0077] 8 天线
- [0078] 81、82 一对部件
- [0079] 811、812、813,821、822、823 壁面
- [0080] 9 被治疗者

具体实施方式

[0081] 图1是表示本发明的一个实施方式所涉及的量子治疗仪1的整体构成的图,图2是表示该量子治疗仪1的使用状态的图。图2中,将图1的构成省略了一部分。该量子治疗仪1构成为包括:设置于对作为被照射物的被治疗者9进行治疗的位置的量子照射用拱顶2、作为量子波发生器的天线3、另一个量子波发生器4、高电压治疗仪5、作为再一个量子波发生器的LED量子照射器6、以及设置于该进行治疗的位置或者分离的任意位置等中的任意一处的作为量子波振荡器的天线8。

[0082] 拱顶2是内壁面21由辐射及反射量子波的材料形成的大型拱顶,收容被治疗者9。在该拱顶2内放射由天线3、量子波发生器4及LED量子照射器6产生的量子波。被放射的量子波照射到被治疗者9,进而,透过被治疗者9或者由被治疗者9反射的量子波在拱顶2内被反射而再次照射到被治疗者9。

[0083] 这样能够将具有容易到达人体内部、还通过骨头等的特征的量子波高效率地照射到被治疗者9的全身。由此,能够使全身得到活化,或者调整复杂关联的内脏器官的状况,或

者使分散在全身的癌萎缩。作为量子,可以举出:光子、电子、夸克、中微子等。

[0084] 图3是表示拱顶2的结构示意性的垂直截面图。大体而言,拱顶2构成为:在能够辐射量子波的金属外壳22的内侧贴附有能够反射量子波的树脂面板23。树脂面板23的树脂231优选为ABS,在该树脂231中掺入反射量子波的半导体粉末232,成型而构成该树脂面板23。本发明的发明人的实验结果中,半导体粉末232由于以高效率反射量子波,所以作为内衬于拱顶2的材料非常理想。因此,如果对金属外壳22供给量子波,则虽然也进行向外部的放射,但由于内部利用包含上述半导体粉末232的树脂231进行反复反射,因此能够高效率地封闭量子波。

[0085] 并且,作为量子治疗仪1中所使用的量子照射用拱顶2,优选被形成圆筒状或如该图3那样的大致六棱筒状。由此,圆筒或大致六棱筒的拱顶起到光学测定中使用的积分球那样的作用,由内壁面21反射的量子波集中到配置于比该圆筒或大致六棱筒的中心靠下方的被治疗者9。由此,能够向被治疗者9有效地照射量子。另外,量子照射用拱顶2由于将作为被治疗者9的人收容在内部,所以优选不仅具有上述的有效照射量子波的面,而且端部开放,以使得其不具有闭塞感的上述大致六棱筒状或圆筒状。

[0086] 金属外壳22由外层221、中层222及内层223的金属3层结构构成,还具备在中层222以内电绝缘地支撑内层223的绝缘体224及使外层221支撑中层222的支撑部件225。具有导电性的外层221、中层222及内层223由锡、锌、SUS304或者铝等金属形成,本实施方式中,被形成为大致六棱筒状。

[0087] 外层221由相对较厚的例如3mm的金属板形成,以便获得强度。中层222通过与外层221电连接的支撑部件225间隔开预先规定的间隔、例如10cm配置于上述外层221的内侧。另外,中层222由适合反射量子波的材料形成,例如由3mm的金属板形成。内层223由相对较薄、例如1mm的适合量子波的振荡的金属板形成。另外,内层223通过泡沫聚苯乙烯等绝缘体224间隔开预先规定的间隔、例如10mm,且与中层222电绝缘地配置于中层222的内侧。这样能够非常有效地向被治疗者9照射量子波。

[0088] 并且,借助线缆36向内层223供给如后所述以量子隐形传态(quantum teleportation)通过天线3接收到的量子波。天线3收纳在设置于金属外壳22的顶部26的罩35内。上述罩35由金属制成,通过收纳天线3而与该天线3电导通。罩35和外层221及与外层221连接的中层222通过橡胶片33等电绝缘,插入在形成于外层221及中层222的连接孔27中的线缆将该罩35的底面和内层223的顶面电连接起来。

[0089] 应予说明,图3中示意性地示出,金属外壳22的六面中的底面形成有被治疗者9躺卧且能够在六棱筒的轴向抽出/收纳的床位24。在该床位24侧设置有内层223及树脂面板23,内层223通过线缆28与其余的面的内层223电连接。在上述底面的地板面侧形成有外层221及中层222,上述床位24能够在形成于中层222上的轨道25上移动,以便被治疗者9出入。

[0090] 如上所述构成的拱顶2中,根据本发明的发明人的实验结果,关于半导体粉末232的浓度,量子波的反射率在2重量%左右开始饱和,因此,优选使最低含量为该2重量%。由此,能够提高性价比。并且,考虑浓度偏差等,特别优选使最佳值为5重量%。另一方面,量子波的反射率在20重量%几乎完全饱和,因此,为了抑制材料成本,另外,为了抑制树脂的强度降低,优选使最大值为该20重量%。

[0091] 如上所述,树脂面板23是在ABS等树脂231中掺入半导体粉末232,通过成型而形成

的。为了形成如上所述的大致六棱筒或者大致圆筒的内壁面，树脂面板23被成型为例如5cm见方左右的较小的面积，通过螺钉29而螺纹固定于内层223。该树脂面板23越厚，反射效果越好，但是，成本越高。因此，通过使树脂面板23为2mm以上的板厚，能够得到含有上述5重量%的半导体粉末232时的期望的反射率。另外，通过使树脂面板23为2mm，能够提高性价比。

[0092] 另外，根据本发明的发明人的实验结果，作为半导体粉末232，金属氧化物及硅酸盐化合物使量子波反射的效果高，因此比较理想。作为上述金属氧化物，优选包含氧化锌、氧化钛、氧化锆、氧化铝中的至少1者，作为上述硅酸盐化合物例如为硅酸镁。另外，上述金属氧化物及硅酸盐化合物优选多个种类组合使用。进而，上述的金属氧化物及硅酸盐化合物可以不是被精制后的矿物，可以在天然矿物的状态下将包含它们的矿石粉碎进行使用。

[0093] 进而，优选在树脂231中掺入用于使其具有导电性的金属粉末。作为金属粉末，例如为锡或锌的粉末。由此，通过在半导体粉末232中掺入金属粉末，能够进一步增大树脂面板23反射量子波的效果。并且，通过使这些半导体粉末232及金属粉末为 $10\mu\text{m}\sim 100\mu\text{m}$ 、特别优选 $30\mu\text{m}\sim 50\mu\text{m}$ （例如325目）的粉体，能够进一步增大树脂面板23反射量子波的效果。

[0094] 以下，对利用量子治疗仪1的本发明的一个实施方式所涉及的量子波的照射方法进行详细说明。本实施方式中，量子波由天线3、量子波发生器4、以及LED量子照射器6产生，使用如上所述构成的拱顶2，非常有效且具有协同效应地照射到被治疗者9。

[0095] 首先，作为第一量子波发生器的天线3利用上述量子隐形传态现象以超光速接收在量子波振荡器中发生振荡并由天线8发射的量子波，借助线缆36由内层223的内壁面21再放射到拱顶2内。作为被再放射的量子，为上述光子、电子、夸克、中微子等。

[0096] 为了利用上述量子隐形传态现象，进行接收的天线3优选以与进行发射的天线8同种的金属材料形成为小型的相似形。原因是：本发明的发明人的实验结果中，如果发射侧的天线8与接收侧的天线3的金属材料不同，则量子能的传送效率差，另外，如果发射侧的天线8与接收侧的天线3的形状不同，则几乎不传送量子能。作为上述金属材料，为上述的锡、锌、SUS304或者铝等。其中，特别优选铝。这样，通过将发射侧的天线8与接收侧的天线3以同种的金属材料形成为相似形，能够有效地传送量子能。

[0097] 进而，根据本发明的发明人的实验结果，如果相似的天线3、8为六棱筒状，则量子能的传送效率最高。如图1所示，特别是在将上述六棱筒分为两部分，以具有3个壁面311、312、313，321、322、323；811、812、813，821、822、823的一对部件31、32；81、82的组合实现的情况下，通过将矩形的金属板在3等分的位置弯曲120度，能够容易地形成上述部件31、32；81、82。

[0098] 此处，可以通过如后所述的另一个量子波发生器4或LED量子照射器6在拱顶2的设置位置产生量子波并供给到拱顶2。但是，通过利用上述的量子隐形传态现象，不管距离及时间如何，均能够将由设置于量子治疗仪1的外部的专用且大规模的量子波振荡器所产生的能量大的量子波同时辐射到拱顶2内。

[0099] 接下来，作为第二量子波发生器的量子波发生器4构成为：例如图4所示。图4的量子波发生器4构成为包括：产生交流电压的交流电源41、将从外部电磁波感应出的电压与上述交流电压重叠的LC并联谐振电路42、以及对上述重叠得到的电压进行整流而将负的成分供给到上述拱顶2的内壁面21的整流元件43。来自整流元件43的输出借助线缆44供给到上

述内层223。

[0100] 交流电源41以可变频率产生交流,其频率范围为2Hz~200Hz,优选为100Hz。另外,交流电源41的输出电压为25V~250V,优选为100V,以100mA~300mA的电流进行输出。LC并联谐振电路42从上述外部电磁波中提取谐振频率成分。其谐振频率为20kHz~2MHz。并且,通过整流元件43对由LC并联谐振电路42从外部电磁波感应出的电压与交流电源41的交流电压重叠得到的电压进行整流而将负的成分供给到拱顶2的内壁面21,由此,由该内壁面辐射上述光子、电子、夸克、中微子等量子。应予说明,即便不设置整流元件43,而将全波的成分供给到内壁面21,也能够辐射量子,但是,根据本发明的发明人的实验结果,辐射量大幅减少,因此,优选仅供给负的成分。

[0101] 通过该量子波发生器4能够在拱顶2的设置位置产生量子波。另外,以这样的低频电压还能够增强通过上述量子隐形传态现象由拱顶2的内壁面21辐射的量子波。

[0102] 如上所述,拱顶2与地面是绝缘的,几 μ A~几十 μ A的低频的微弱电流从该拱顶2流向空中。因此,通过在该拱顶2与地面之间放入高电阻,还能够适当调整上述微弱电流,从而还能够适当调整照射到被治疗者9的量子能。即,如果根据装置的规模等增大放电量,则可以说能够使用的能量变小。

[0103] 优选为,本实施方式的量子治疗仪1中,还设置有高压电源5。该高压电源5借助线缆51向上述拱顶2的内壁面21供给以低频、例如50Hz或60Hz周期性地变化的3000V~10000V的负的高电压。本发明的发明人的实验结果中,通过将由市场上销售的高电压治疗仪等构成的高压电源5与上述拱顶2的内壁面21连接而供给低频的负的高电压,能够增强由上述拱顶2的内壁面21辐射的量子波,非常理想。图1的例子中,将高压电源5表示为量子波放大器,表示如果指示器52亮灯,则输出3000V,如果指示器53亮灯,则输出6000V,如果指示器54亮灯,则输出9000V。

[0104] 另外,优选为,本实施方式的量子治疗仪1中,可以设置有微波振荡器。对于该微波振荡器,可以使用美颜器中所使用的微波振荡器。微波可以通过对晶体振子施加电压来产生,振荡频率可以根据与该晶体振子连接的振荡板的材质而发生变化。上述振荡板由碳、石墨、钛、镁、SUS等导电体板形成,上述振荡频率为10~200MHz,功率为2~30W。通过该微波能够利用与量子波的协同效应来提高治疗效果,通过改变微波的频率,能够变更上述被治疗者9的治疗对象部位。

[0105] 接下来,对作为第三量子波发生器的LED量子照射器6进行说明。图5中示出该LED量子照射器6周围的构成。图5是仰视拱顶2的后方顶棚附近而示出的立体图。拱顶2的后方由具有通风用的开口201的端板20覆盖。在该顶棚附近,在中央设置有监控摄像机79,在两侧设置有扬声器71、72,在监控摄像机79的下方设置有LED量子照射器6。监控摄像机79与未图示的该量子治疗仪1的操作用的个人计算机等连接,可监控被治疗者9。扬声器71、72放出用播放器73播放图1所示的CD74而产生的音乐,使被治疗者9得到放松。

[0106] 该LED量子照射器6是基于可以将光用于量子能的传送手段这样的本发明的发明人的见解而完成的,是一种将量子能与光重叠而传送至被治疗者9的新颖的量子治疗仪。LED量子照射器6由多个LED61的集合体构成,各LED61搭载于同一基板,通过供给来自未图示的电源的直流电压而亮灯。该搭载有LED61的基板被容纳在外壳62内,在前表面覆盖有兼具LED61的保护及集光作用且具有与各LED61对应的透镜的罩。如上所述,LED量子照射器6

将量子能与光重叠而传送至被治疗者9,因此,首先将该LED量子照射器6以规定的俯角(俯视角)安装于拱顶2的顶棚,以便将直射光尽量多地送达到被治疗者9。

[0107] 此处,发光的元件存在各种各样的元件,但是,通过本发明的发明人的实验确认到:在如上所述将光用作量子能的载体的情况下,即使发出相同光的元件,量子也不累积在白炽灯泡、荧光灯中,如果不是LED或半导体激光器等半导体发光元件,则没有效果。因此,作为上述元件,使用通过以预先规定的周期被照射量子而存储有量子信息的LED等半导体发光元件,并具有对该半导体发光元件进行通电的电源。并且,如果进行通电,则由半导体发光元件放射的光作为载体,基于被存储的上述量子信息的量子能与该光重叠,并被传送到被照射部位。

[0108] 图6是示意性地表示向LED61照射量子信息的方法的图。如图6(a)所示,量子信息的照射能够通过如下方法来进行:将LED61载置于导电板63上,并对该导电板63施加预先规定的周期的负电压。通过对导电板63施加规定时间的负的电位或电场,能够将由此导电板63产生的量子累积在LED61内。对导电板63施加来自图6(b)所示的施加回路65、或图6(c)所示的施加回路66的负电压,由此,产生上述电位或电场。如图6(a)所示,导电板63可以通过例如MΩ以上的高电阻64接地。

[0109] 施加回路65构成为:包括与交流电源651的一个端子连接的二极管652及电阻653的串联电路和与另一个端子连接的二极管654及电阻655的串联电路。二极管652、654的负极与交流电源651连接,正极与电阻653、655的一端连接。由此,从电阻653、655的另一端引出的负的半波电压被施加到导电板63上。交流电源651为单相2线的情况下,1根线在杆上变压器内等接地,该施加回路65在不清楚2根线的哪一根是火线的情况下,能够可靠地引出负电压。

[0110] 另外,施加回路66是用由二极管662~665形成的二极管电桥构成的。在交流电源661的一个端子上连接有二极管662的负极及二极管664的正极,在另一个端子上连接有二极管663的负极及二极管665的正极,二极管664、665的负极接地。由此,从二极管662、663的正极引出的负的全波电压被施加到导电板63上。

[0111] 交流电源651、661施加2Hz~2kHz、优选为3Hz~100Hz的交流电压。交流电源651、661为商用电源的情况下,对导电板63以50或60Hz施加例如100V(有效值)的电压。应予说明,本实施方式中使用交流电源651、661是因为电路简单,作为周期性的负电压,可以为三角波、矩形波或者脉冲波等。

[0112] 如上所述,通过对导电板63施加周期性的负电压,对LED61照射光子、电子、夸克、中微子等17种量子中的任一种(其中,容易产生夸克(大量产生),并且认为有可能产生中微子)。通过这些量子照射规定时间、具体为2~3分钟以上、优选为4~5分钟以上,在该LED61中存储量子信息。然后,如果由直流电源对存储有该量子信息的LED61进行通电,则由该LED61放射量子能。

[0113] 因此,在生物处于该被放射的量子能中时,能够使组织得到活化。具体而言,原子的电子排布受到影响(使原料原子的外层电子轨道发生变动,利用因此导致的质子振动来产生量子波),能够例如促进动物的血液循环或者提高患部的治愈效果。并且,能够按照上述预先规定的周期使作为对象的症状不同。特别是如果使上述预先规定的周期为3~100Hz,则能够得到改善人血液循环的效果,解除肩酸、浮肿或者使伤口尽早治愈。

[0114] 以下,示出本发明的发明人的临床试验结果。目前,有4台治疗仪在工作,收集200例以上的临床试验数据,显著的例子中,患有4期肝癌和Ⅱ型糖尿病的67岁男性患者通过1小时2次的照射,癌完全消失。本临床试验结果中,虽然提取出这样的80%以上的改善例,但是由该200例以上的症例也可以得到以下效果:例如能够改善痴呆症的频率、加速脑细胞的再生的频率得以明确等。临床试验中,不使用LED量子照射器6,而使用天线3及量子波发生器4向拱顶2内引入量子波。

[0115] 年龄相关性黄斑变性症且病史15年的女性→通过40分钟1次的治疗,视力100%恢复

[0116] 白血病且病史5年的男性→通过1小时3次的治疗,80%恢复

[0117] 肺癌且病史2年的男性→通过1小时3次的治疗,癌细胞消失

[0118] 放射线照射病且病史1年的女性→通过1小时2次的治疗,80%改善

[0119] 结肠癌(肠闭锁)且病史2年的女性→通过1小时3次的治疗,癌细胞消失

[0120] 脑瘫(右半身)且病史42年的女性→通过1小时10次的治疗,感觉恢复、能够利用助行器步行,80%恢复

[0121] 宫颈癌且病史1年的女性→通过30分钟3次的治疗,癌缩小80%

[0122] 关于其它大部分的原因不明症,所有的症例均确认到改善效果,没有确认到改善效果的症例完全没有。

[0123] 如上所述,本实施方式的量子治疗仪1中,由于将来自第一量子波发生器亦即天线3的由量子隐形传态传送的量子波、来自第二量子波发生器4的量子波及来自第三量子波发生器亦即LED量子照射器6的量子波中的任意一者放射到量子照射用拱顶2内,照射到被治疗者9,因此,能够非常有效且具有协同效应地进行被治疗者9的治疗。

[0124] 本实施方式对用作进行人的治疗的量子治疗仪1的例子进行了说明,但是,上述的构成还可以应用于其它被照射物。例如,作为其它被照射物,为食物、生物、工业制品等各种物体,还可以有效地进行其原子核的改性。

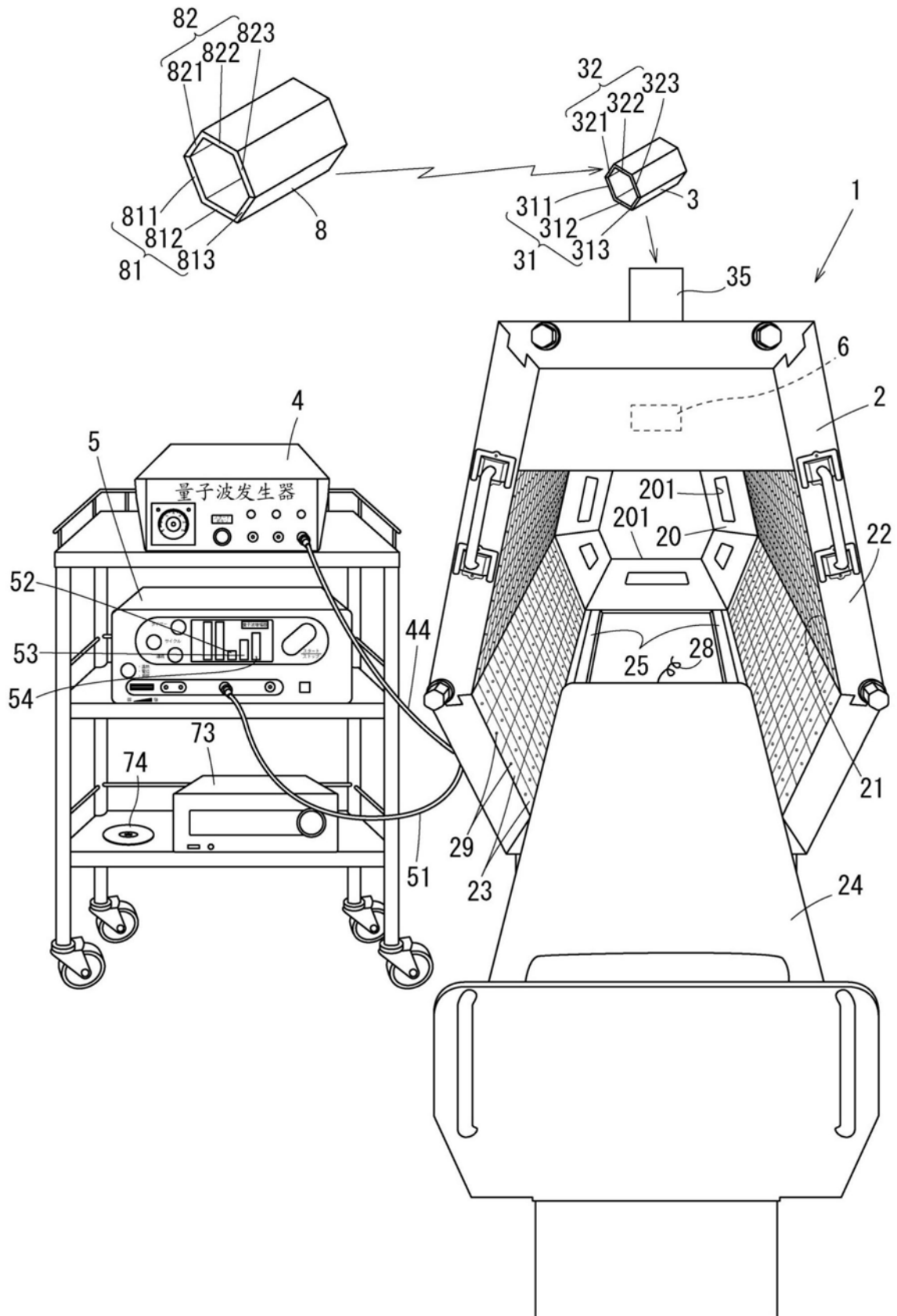


图1

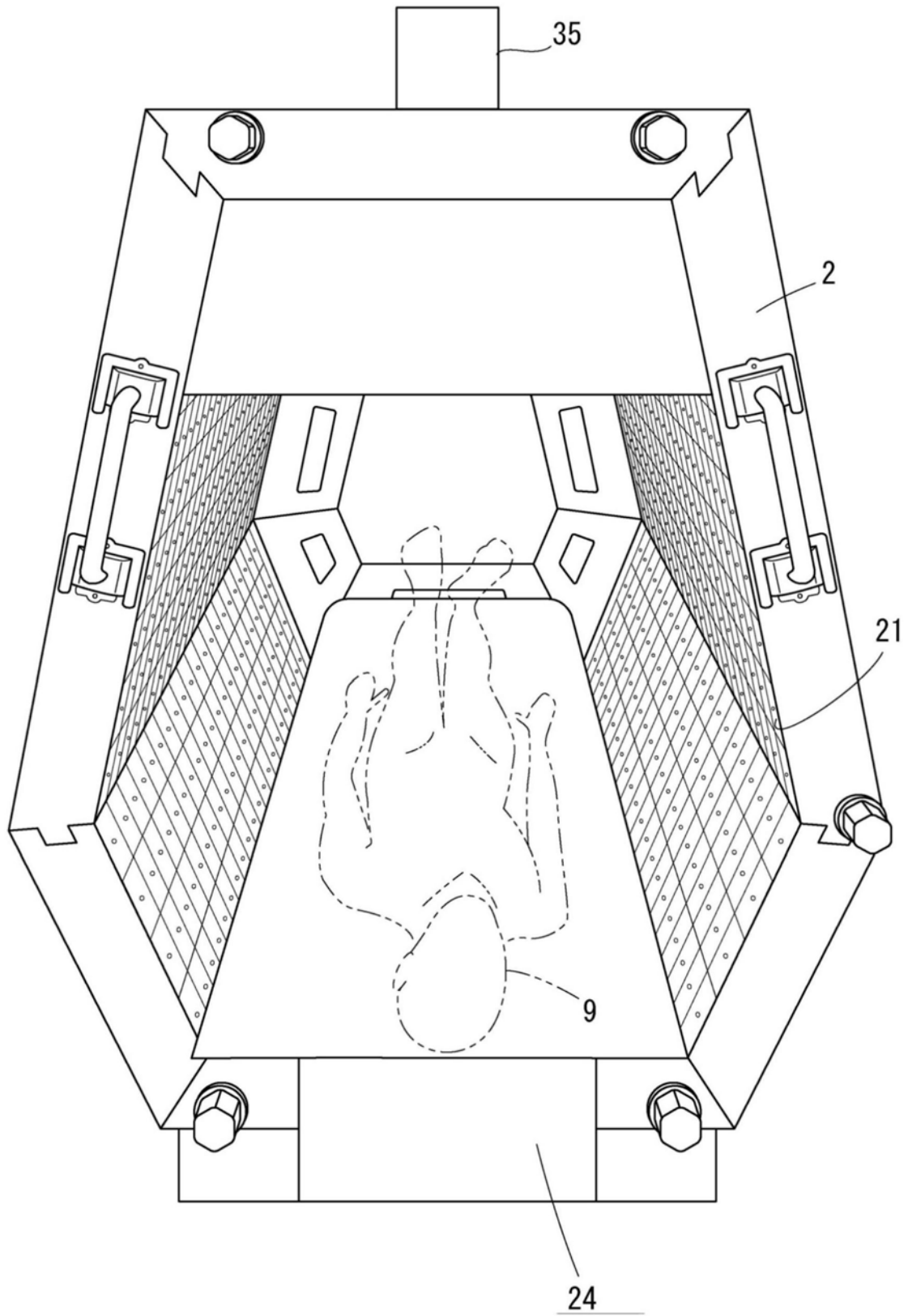


图2

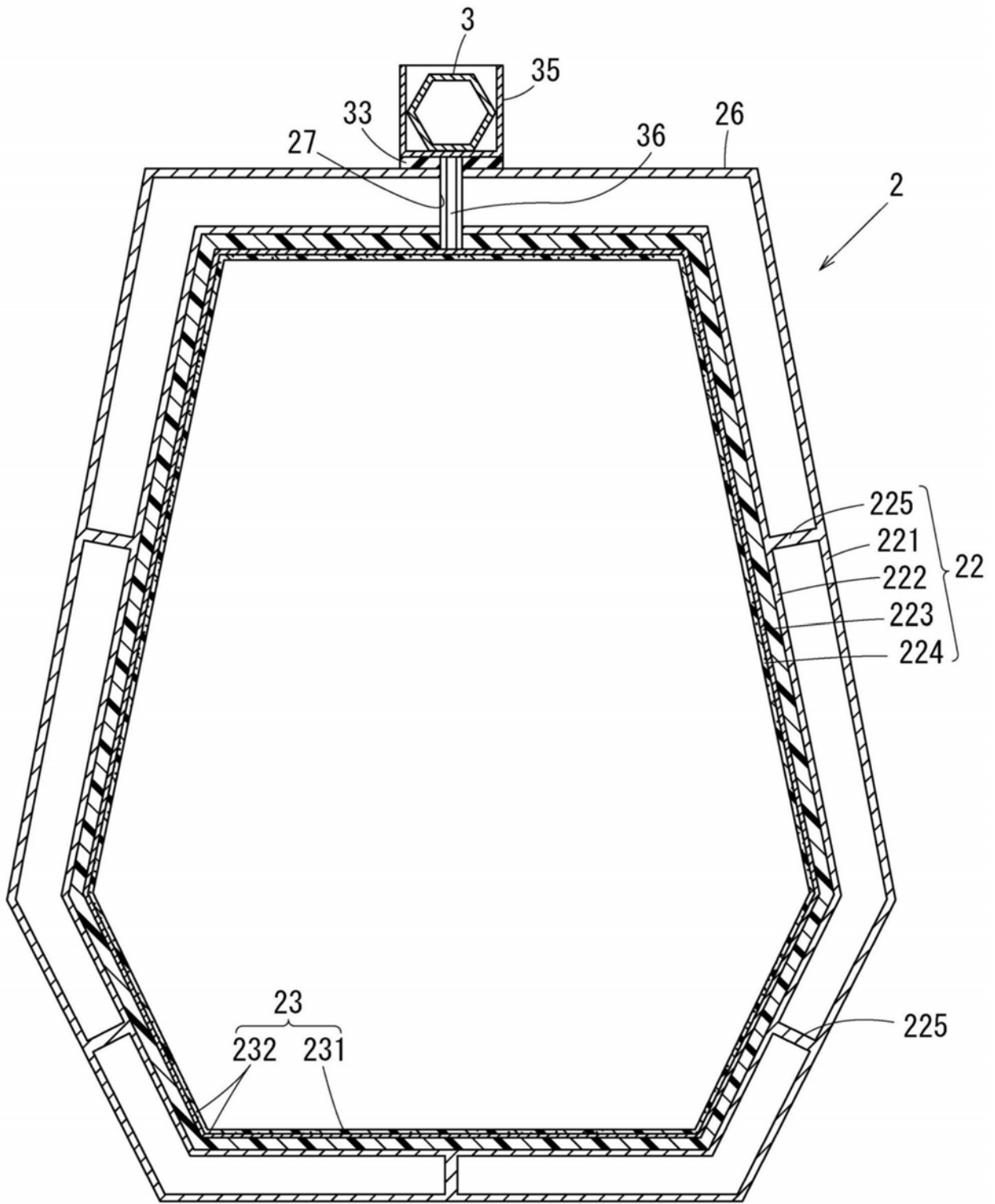


图3

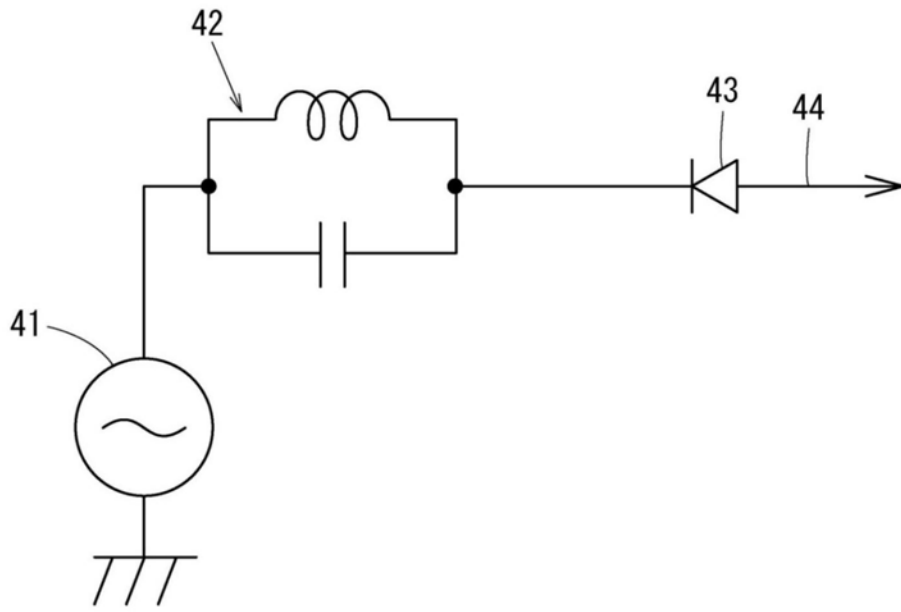


图4

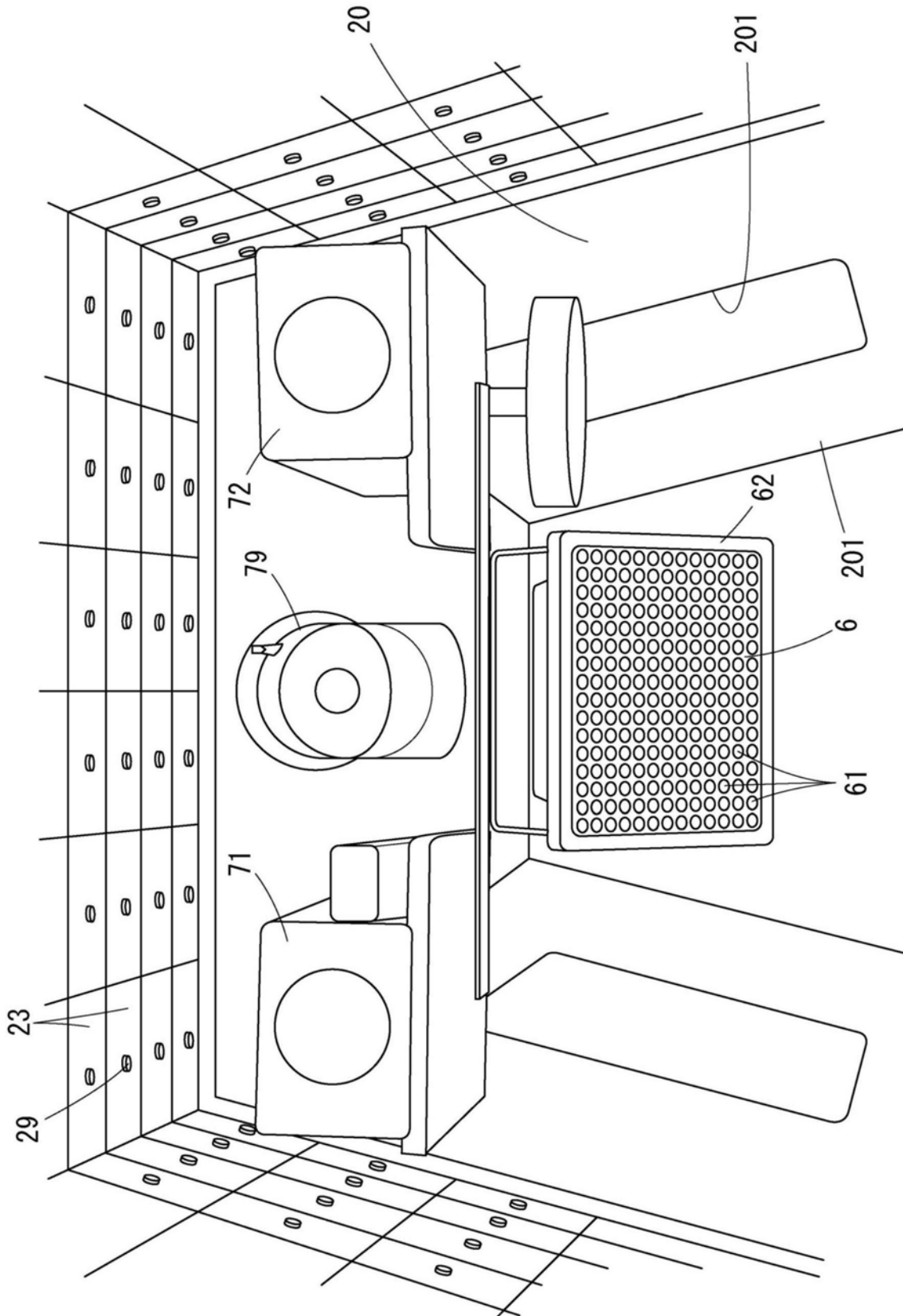


图5

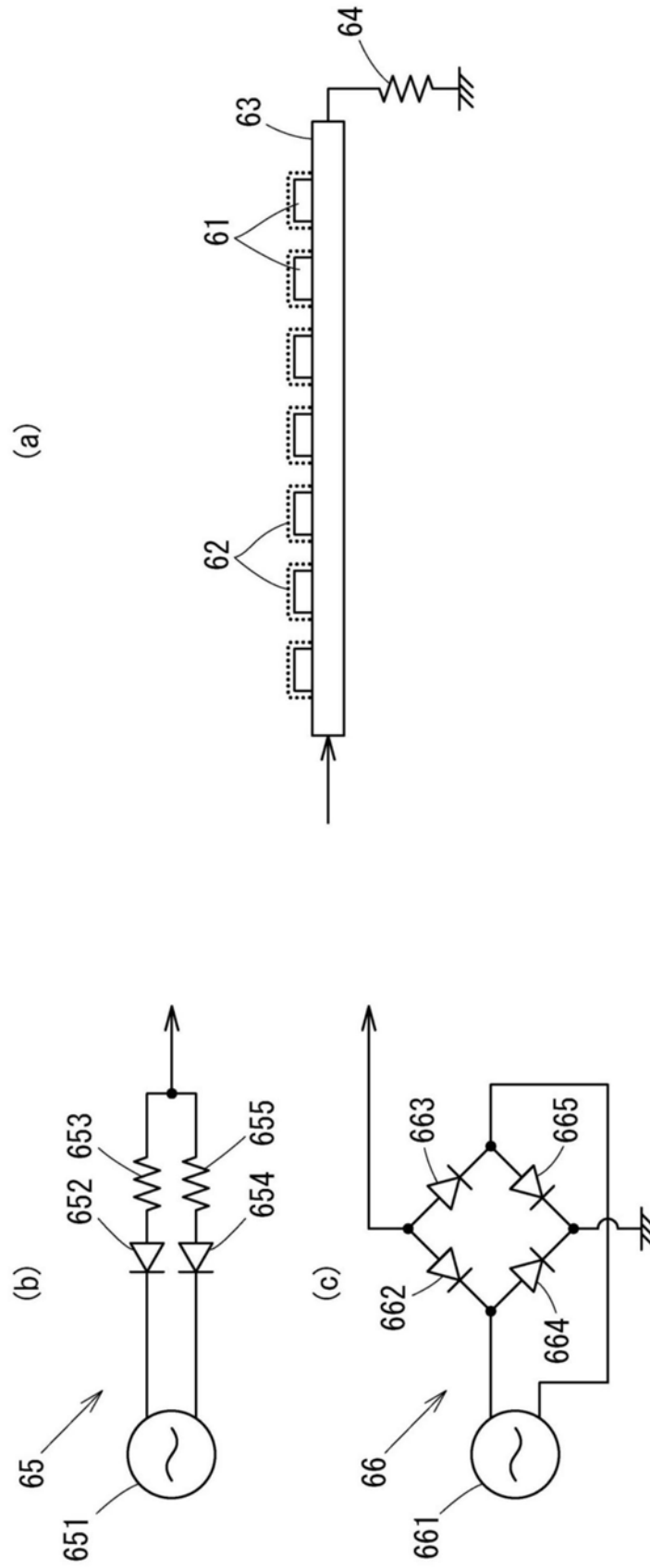


图6